

## ΓΕΩΘΕΡΜΙΚΕΣ ΣΥΝΘΗΚΕΣ ΤΗΣ ΠΕΡΙΟΧΗΣ ΘΕΡΜΩΝ - ΝΙΓΡΙΤΑΣ\* (ΛΕΚΑΝΗ ΣΤΡΥΜΟΝΑ, ΒΟΡΕΙΑ ΕΛΛΑΔΑ)

A. ΑΡΒΑΝΙΤΗΣ<sup>1</sup>, M. ΦΥΤΙΚΑΣ<sup>1</sup> & E. ΝΤΟΤΣΙΚΑ<sup>2</sup>

### ΠΕΡΙΛΗΨΗ

Η περιοχή Θερμών-Νιγρίτας παρουσιάζει αξιόλογο γεωθερμικό ενδιαφέρον. Η γεωθερμική ανωμαλία εμφανίζεται κυρίως λόγω της διασταύρωσης δύο σιντηριατών ωριγμάτων με διεύθυνση ΒΒΑ-ΝΝΔ και ΒΔ-ΝΑ, ενώ σημαντικό ρόλο παίζουν και τα ωρίγματα Α-Δ. Οι χάρτες των ισοθερμών και στυλών συνδρόμουν στην κατανόηση της μορφής του πεδίου. Ο κύριος γεωθερμικός ταμευντήρας αναπτύσσεται στο κροκαλοπαγές βάσης με νερό μέχρι 62°C, που περιέχει συνήθως διαλυψέντο CO<sub>2</sub>. Στα υπεροχειμενα του κροκαλοπαγών βάσης Νεογενή υγήματα υπάρχουν στρώματα που φιλοξενούν επιφανειακά νερά θερμοχροαίας 19-27°C. Τα νερά κατατάσσονται σε δύο κύριους χρηματούς τύπους: Na-HCO<sub>3</sub> και Ca,Mg,Na-HCO<sub>3</sub>. Από τα χημικά γεωθερμόλιτα επιτιμάται ότι η θερμοχροαία των ρευστών στο βάθος είναι της τάξης των 130-140°C. Το συνολικό δυναμικό του πεδίου φαίνεται ότι είναι πολύ σημαντικό (χαρτ. πάλι >500 m<sup>3</sup>/h).

### ABSTRACT

The area of Therma - Nigrita is of primary geothermal interest. The geothermal anomaly manifests itself mainly by the intersection of the fault systems trending NNE-SSW and NW-SE, whereas of considerable importance are the faults with an E-W direction. The maps of isothermal curves provide wealth information on the form of the field. The main geothermal reservoir is located at the basal conglomerate containing water at a highest temperature of 62°C. The waters contain dissolved CO<sub>2</sub>. In the Neogene sediments above the basal conglomerate, there are aquifers with surface waters at a temperature of 19-27°C. The waters are classified in two main chemical types: Na-HCO<sub>3</sub> and Ca,Mg,Na-HCO<sub>3</sub>. With the aid of chemical geothermometers the deep temperature is estimated in 130-140°C. The total potential of the field seems to be very important (more over than 500 m<sup>3</sup>/h).

**KEY WORDS:** faults, isothermal curves, reservoir, conglomerate, Neogene sediments, CO<sub>2</sub>, geophysical data, hydrochemistry, geothermometers

### 1. ΕΙΣΑΓΩΓΗ

Η ευρύτερη περιοχή Θερμών-Νιγρίτας προσάλεσε από καιρό το γεωθερμικό ενδιαφέρον του Ι.Γ.Μ.Ε. (Καρυδάκης, 1983) και πολλών εξεινητών εξαιτίας των θερμών πηγών και των εινοϊκών γεωλογικών συνθηκών.

Με την παρούσα εργασία προστίθενται καινούργια στοιχεία (λεπτομερής θερμο-μετρική έρευνα,

\* GEOTHERMAL CONDITIONS IN THERMA - NIGRITA AREA (STRYMON BASIN, NORTHERN GREECE)

<sup>1</sup> Τομέας Γεωλογίας & Φυσ. Γεωγραφίας, Τμήμα Γεωλογίας, Αριστοτελείο Πανεπιστήμιο Θεσσαλονίκης, 54006, Θεσσαλονίκη

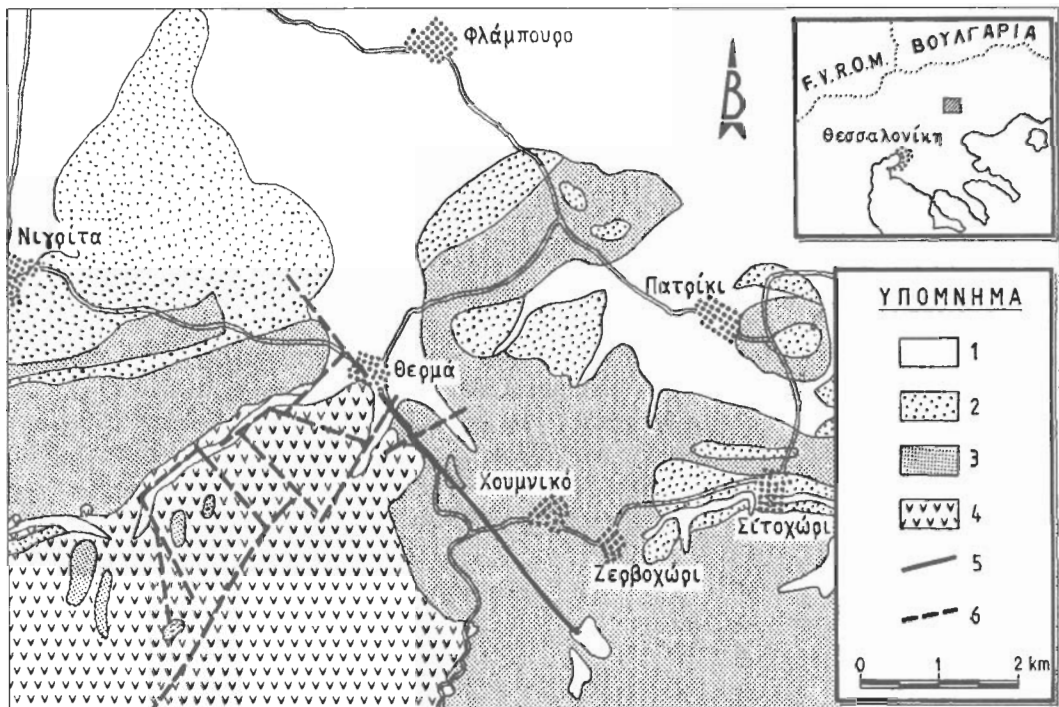
<sup>2</sup> Εργαστήριο Ισοτοπίων Ψηφιακή Βιβλιοθήκη "Θεόφραστός"-Τμήμα Γεωλογίας Α.Π.Θ. 10 - Αγία Παρασκευή, Αθήνα

δειγματοληψίες, χημικές αναλύσεις, αξιολόγηση γεωλογικών και γεωφυσικών δεδομένων). Αυτά, σε συνδυασμό με τα υπάρχοντα δεδομένα, βοηθούν στην περιχάραξη των ορίων του πεδίου και στην καλύτερη γνώση της υπόγειας κυκλο-φορίας των φευτών, της δομής, της λειτουργίας και των χαρακτηριστικών του γεωθερμικού πεδίου.

## 2. ΓΕΩΛΟΓΙΑ - ΤΕΚΤΟΝΙΚΗ

Η περιοχή έχεινας τοποθετείται στα Δ περιθώρια του τεκτονικού βιθύνισματος του Στρομιόνα. Το βιθύνισμα αυτό δημιουργήθηκε από σταδιακή τεκτονική δράση εφελκυστικού τύπου, που άρχισε κατά το Μειόκαινο και συνεχίζεται μέχρι σήμερα, με ενδιάμεσες παύσεις και πιθανές εναλλαγές του πεδίου τάσεων.

Το γεωλογικό υπόβαθρο (Σχ. 1) είναι η Σειρά Βερτίσκου της Σερβομακεδονικής μάζας (γενέσιοι, μαρμαρωγικοί σχιστόλιθοι, λεπτά στρώματα μαρμάρων, μεταγέρμβροι-μεταδιαφάσεις και αμφιβολίτες) (Μουντράκης & Κίλιας, 1992). Στα περιθώρια του γεωθερμικού πεδίου εμφανίζονται οι μεταμορφωμένοι οφιόλιθοι, οι δε θερμές πηγές (1, 2, 3, 4, 5, 6, 7 στο Σχ. 3) αναβλύζουν δίπλα σ' αυτούς. Πάνω στο υπόβαθρο αποτέθηκαν συντεκτονικά, Νεογενή και Τεταρτογενή ιζήματα.



**Σχ.1:** Απλοποιημένος γεωλογικός χάρτης της περιοχής Θερμών-Νιγρίτας με βάση το γεωλογικό χάρτη του Ι.Γ.Μ.Ε. (I.G.M.E., 1970). [1. Άμμούχες άργιλοι, άμμοι, χάλιες, ωπίδια προσχώσεων (Ολόκαινο), 2. Άμμοι, χάλιες, άργιλοι, πήλοι (Πλειστόκαινο), 3. Λεπτοστροφιατώδης ίλις, άργιλοι, άμμούχες άργιλοι, λιγναίοι ασβεστόλιθοι, μάρμαρες, άμμούχες μάρμαρες, μιαργάταιοι ασβεστόλιθοι, ίλις, ποσφερμόλες στρωμάτων με χαλίκια, άμμοι, ψηλοκάλοταρές βάσης (Νεογενές), 4. Οφιόλιθοι (υπόβαθρο), 5. Ρήγματα, 6. Ηθονά ρήγματα].

**Fig.1:** Simplified geological map of Therma - Nigrita area, on the basis of the geological map of I.G.M.E. (I.G.M.E., 1970). [1. Sandy clays, sands, gravels, alluvial fans (Holocene), 2. Sands, gravels, clays, loams (Pleistocene), 3. Fine-layered silts, clays, sandy clays, lacustrine limestones, marls, sandy marls, marly limestones, silts, intercalations of gravel layers, sands, basal conglomerate (Neogene), 4. Ophiolites, 5. Faults, 6. Probable faults].

Ψηφιακή Βιβλιοθήκη "Θεόφραστος" - Τμήμα Γεωλογίας. Α.Π.Θ.

Τα Νεογενή Ιζήματα (μάργες, αργιλοί, άμπιοι, αιθεοστόλιθοι, φασιμίτες, ακόμη και λιγνίτες) αφοίζουν ουσήθως με ένα προκαλοπαγές βάσης και στη συνέχεια διαφοροποιούνται ακόμα και πλευρικά, ανάλογα με την παλαιομορφολογία και τις τότε συνθήκες (θαλασσιες, λιμνοθαλάσσιες, υφάλιμψες και τοπικά χρησαίες). Οι Τεταρτογενείς αιθεοστόλιθοι αποτελούνται κυρίως από χάλικες, άμπιοις, αιμούχες αργιλούς, και ερυθροστροφίατα. Στα μεταλπικά Ιζήματα της περιοχής κυριαρχεί γενικά η μαργαΐτη και η αργιλική σύσταση με παρεμβολές άμπιων, χαλίκων και λιμναιών αιθεοστόλιθων. Τα Ιζήματα είναι πλούσια σε διεγενεμένα αργιλικό υλικό, γεγονός που τα καθιστά γενικά ιδανιστεγανά, απομονώνοντας τους βαθύτερους γεωθερμικούς ιδροφόρους από τα επιφανειακά νερά.

Οι πιο πρόσφατες οριξιγενείς δομές σχηματίζουν δύο κύριες ομάδες οργιμάτων, ΒΔ-ΝΑ και ΒΒΑ-ΝΝΔ, που είναι οριζόντιας μετατόπισης αλλά και κανονικά (Μουντάκης & Κίλιας, 1992). Τα οργήματα διεύθυνσης ΒΔ-ΝΑ διευπολύνουν γενικά την κυρλαφορία και την άνοδο θερμιδών από μεγαλύτερα βάθη, αφού πρόκειται για μεγάλα και βαθειά οργήματα. Οι τεκτονικές δομές αυτού του είδους δεν είναι πάντα ορατές στην επιφάνεια λόγω της φύσεως των πετρωμάτων και προκύπτουν από γεωφυσικά και γεωθερμικά στοιχεία.

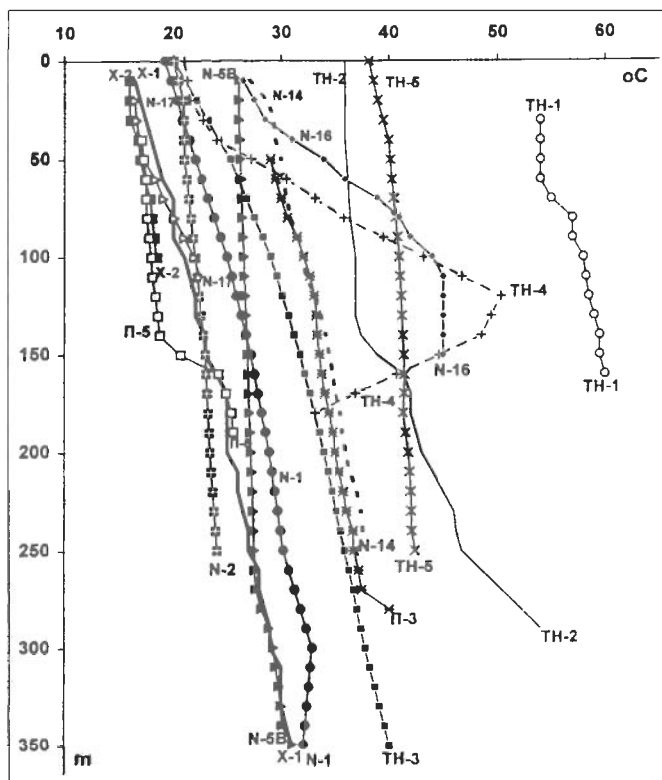
Από τις γεωθερμικές διασκοτήσεις (Βαργιεμέζης κ.ά. 1988, Κυριακίδης κ.ά. 1988) προκύπτει και ένα άλλο σύστημα οργιμάτων διεύθυνσης Α-Δ, που οφείλεται στο ακόμα ενεργό πεδίο τάσεων με διεύθυνση εφελκυσμού Β-Ν. Είναι αυτό που επανενεργοποιεί προϊνταρχουσες μεγάλες τεκτονικές δομές.

### 3. ΓΕΩΘΕΡΜΙΚΗ ΕΡΕΥΝΑ

Πραγματοποιήθηκαν θερμομετρήσεις σε 40 περίπου γεωτρήσεις, κυρίως στην κεφαλή, γιατί οι περισσότερες από αυτές έχουν στο εσωτερικό τους αντλητικό συγκρότημα. Σε λίγες μόνον περιπτώσεις πραγματοποιήθηκαν θερμομετρήσεις μέσα στις γεωτρήσεις και συντάχθηκαν οι οχετικές καμπύλες θερμοβαθμίδας (Σχ. 2).

Οι γεωτρήσεις έχουν ποικίλα βάθη και παραγουν από διαφορετικούς ιδροφόρους, γι' αυτό χροιστήκαν σε δύο κύριες ομάδες, με δύο τους 26°C. Κατασκευάσθηκαν έτοι 2 χάρτες επιφανειακόν ισοθέρμων καμπυλών (Σχ. 3,4).

Στο Σχ. 3 ( $T<26^{\circ}\text{C}$ ) περιλαμβάνονται κυρίως οι ορχές γεωτρήσεις με "επιφανειακούς" ιδροφόρους που έχουν ελάχιστη έως καθόλου ανάμιξη με "γεωθερμικά" βαθύτερης προέλευσης νερά. Οι γεωτρήσεις αυτές κατανέμονται σε δύο υποπεριοχές. Γύρω από τα Θερμά υπάρχουν γεωτρήσεις που παράγουν νερά υψηλότερης θερμοκρασίας. Η περιοχή στα Δ της Σχ. 3



**Σχ. 2:** Καμπύλες μεταβολής της θερμοκρασίας με το βάθος για γεωτρήσεις της περιοχής Θερμών-Νιγρίτας.

**Fig. 2:** Temperature-depth curves for wells in the area of Therma - Nigrita.

γραμμής Θερμών-Φλαμπουρόου παρουσιάζει γεωθερμική ανωμαλία στο νότιο και κεντρικό της τμήμα. Η ανωμαλία προσανατολίζεται σε δύο διεύθυνσεις, ΒΔ-ΝΑ και ΒΑ-ΝΔ, με μέγιστη θερμοχωρία 23°C στη γεώτρηση Θ-6. Στο ανατολικό περιθώριο αυτής της ανωμαλίας διαπίνεται απότομη μεταβολή, η οποία συνδέεται με την ύπαρξη ενός πολύ πιθανού οργάνωτος ΒΑ-ΝΔ διεύθυνσης και πιθανής κλίσης προς ΒΔ, που διέχεται πλησίον των γεωτρήσεων Θ-7 και Θ-8. Για την ύπαρξη του οργάνωτος αυτού συνηγορεί και η διαφορά αλατότητας και αγωγμότητας των γεωτρήσεων εκπεριφερεί τον οργάνωτο. Η ένταση της θερμικής ανωμαλίας εξασθενεί σημαντικά πλησίον των περιοχών Νιγούτας εξ' αιτίας της βύθισης του υποβάθμου, κατά συνέπεια και του υδροφόρου κροκαλοπαγών, και της απομάκρυνσης από το σύστημα οργανώτων ανόδου των γεωθερμικών ψειτών. Ανατολικά της γραμμής Θερμών-Φλαμπουρόου και όπου υπάρχουν δεδομένα γεωτρήσεων η γεωθερμική ανωμαλία γενικεύεται και γίνεται εντονότερη προς Β. Οι ισόθερμες καμπύλες παρουσιάζουν αύξηση της θερμοχωρίας από ΝΝΑ προς ΒΒΔ, γεγονός που συμπίπτεται με ένα οργάνω του υποβάθμου.

Από τις μετρήσεις των γεωτρήσεων με  $T > 26^{\circ}\text{C}$  προέκυψε ότι το κέντρο της θερμικής ανωμαλίας εντοπίζεται ΒΑ των Θερμών, με μέγιστη τιμή  $62^{\circ}\text{C}$  (Σχ. 4). Η μιορά των ισοθέρμων καμπυλών απολούθει διεύθυνση ΒΑ-ΝΔ, που είναι παραλληλη και πολύ κοντά στο μεγάλο οργάνω του προέκταση ΝΔ των Θερμών. Διεύθυνση παράλ.-ληρή προς το προηγούμενο οργάνω διαγράφεται από τις ισόθερμες κατά μήκος των γεωτρήσεων Θ-11 και ΤΗ-2. Υπάρχει ειδώ δραστική ελάττωση της θερμικής ανωμαλίας μέχρι και εξημηνισμός της προς Δ. Παρόμοια κατάσταση επικρατεί και Ν. της νοητής γραμμής Θερμών-Νιγούτας.

Οι ισόθερμες καμπύλες αναφέρονται και από Dimopoulos (1990) περιλαμβάνοντας μικρότερης έκτασης περιοχή εξαιτίας του μικρότερου αριθμού γεωτρήσεων και μετρήσεων. Οι ισόθερμες καμπύλες των Σχ. 3 και 4 δίνουν παρόμοια αποτελέσματα για την περιοχή που εξετάσθηκε και από Dimopoulos (1990) αλλά εμπλουτίζοντας τις γνώσεις μας για την ενούτερη περιοχή των γεωθερμικού πεδίου.

#### 4. ΓΕΩΦΥΣΙΚΑ ΚΑΙ ΔΙΘΟΛΟΓΙΚΑ ΣΤΟΙΧΕΙΑ

Από τα γεωφυσικά στοιχεία (PPC 1981, BRGM-IGME 1982, Βαρυγεωργίης κάτιος 1988, Κυριακίδης κάτιος 1988, Μέμου 1983, Στάμιος 1989) προέκυψαν χρήσιμες πληροφορίες για τη δομή του πεδίου. Τα σεισμικά της ΔΕΠΙ σταματούν στα Β περιθώρια του πεδίου.

Στην περιοχή παρατηρούνται εναλλαγές μαργάρη, φαρμακιών, άμμων και κυρίως αργίλων που συχνά αποτελούν το συνδετικό υλικό. Η ανοικοιστένει και η ποικιλία των λιθολογικών τύπων και στρωμάτων μικρού πάχους, επιτρέπει την ένταξή τους ενιαία σαν Νεογενή και Τεταρτογενή ζέζηματα.

Τα Νεογενή ζεζηνούν σχεδόν παντού με ένα κροκαλοπαγές βάσης, που έχει αξιόλογο πολλές φορές πάχος (αρκετάν δεκάδων μέτρων) και αποτελεί ιμιαντεύοντα υδροφόρο οργάνωτα γεωθερμικών ψειτών (μέχρι  $62^{\circ}\text{C}$ ), τα οποία περιέχουν μεγάλες ποσότητες αερίου  $\text{CO}_2$  σε διάλινη (Καράμπελας κ.ά. 1993). Η διάκριση του σχηματισμού είναι σχετικά εύκολη με τις γεωθελετοποιές διασκοτήσεις, επειδή έχει μικρές τιμές ηλεκτρικής αντίστασης, λόγω της υδροφορίας του και της σχετικά μεγάλης θερμοχωρίας του νερού, ενώ το υποβάθμο έχει μεγαλύτερες τιμές.

Από τα υπάρχοντα γεωφυσικά στοιχεία, σε συνδρασμό με τις τομές των γεωτρήσεων, προέκυψαν τα εξής :

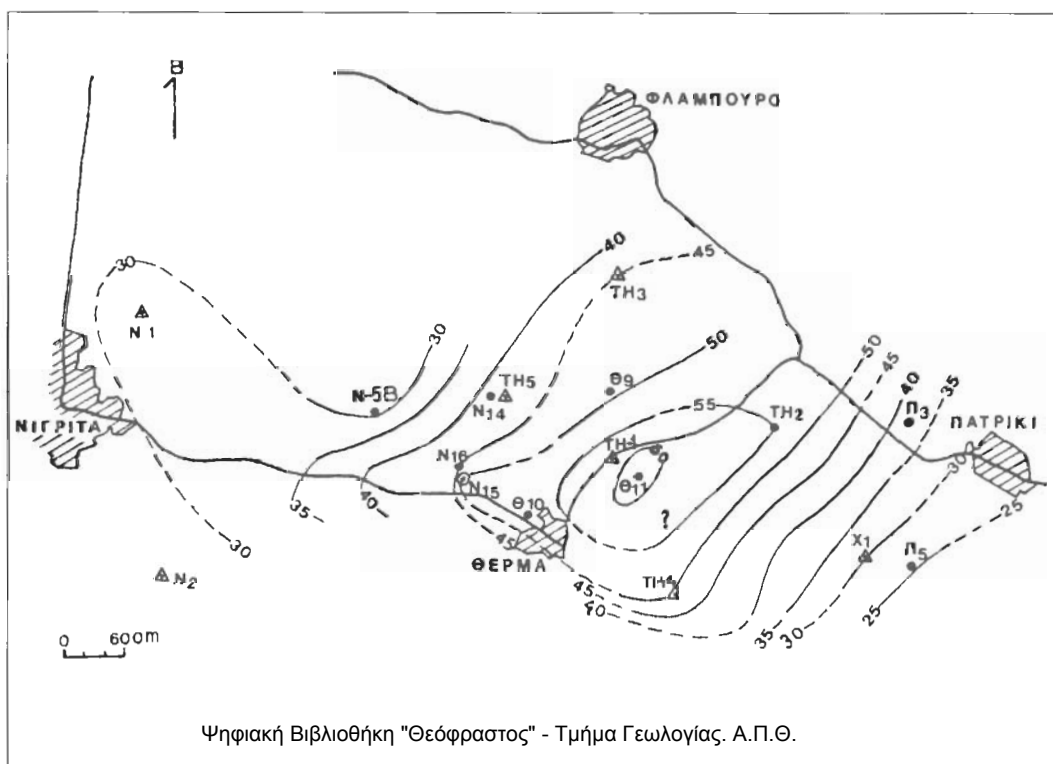
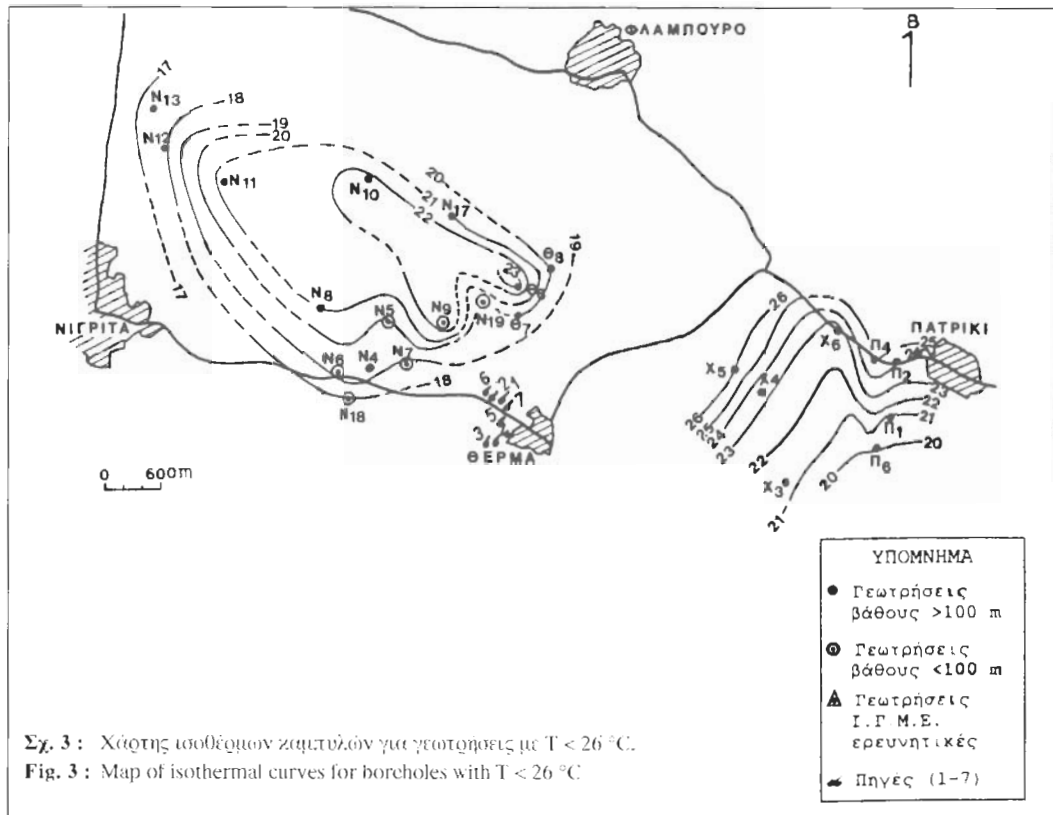
Τα Νεογενή-Τεταρτογενή ζέζηματα έχουν μικρό γενικά πάχος, που δεν ξεπερνά τα 500 m (συνήθως 100 - 300 m). Αντίθετα, η λεκάνη βύσης της περιοχής βυθίζεται απότομα και το πάχος των ζέζηματων ξεπερνά τα 1000 m. Αυτή η βύθιση ελαττώνει το γεωθερμικό ενδιαφέρον αφού μειώνεται η γεωθερμική βαθμίδα.

Το υποβάθμο είναι πολύ διαταραχμένο, λόγω της έντονης οργένων τεκτονικής. Η κύρια διεύθυνση οργάνωτων είναι ΒΑ-ΝΔ με δύο κύρια οργάνωτα που είναι εμφανή και στους χάρτες των ισοθέρμων καμπυλών (Σχ. 3,4). Η διεύθυνση ΔΒΔ-ΑΝΑ είναι παραλληλή προς τα περιθωριακά συντήματα οργάνωτων του βυθίσματος καθώς και τα μεγάλα οργάνωτα που δημιουργούν τη μεγάλη καταβύθιση στο κέντρο της λεκάνης Στρωμάνα. Δημιουργούνται διάφορα τεκτονικά κέρατα και βυθίσματα, γεγονός που επορεύεται αρκετά την ορογένη και λαγκαρίσσια των σειράτων (Σχ. 5). Υπάρχουν ενδείξεις οργάνωτος Β-Ν, μετάξυ των χωρων Ηατρίου και Ζερβοχώρου.

**Πίν. 1.** Γεωτοήσεις της ευρύτερης περιοχής Θερμών Νιγρίτας.

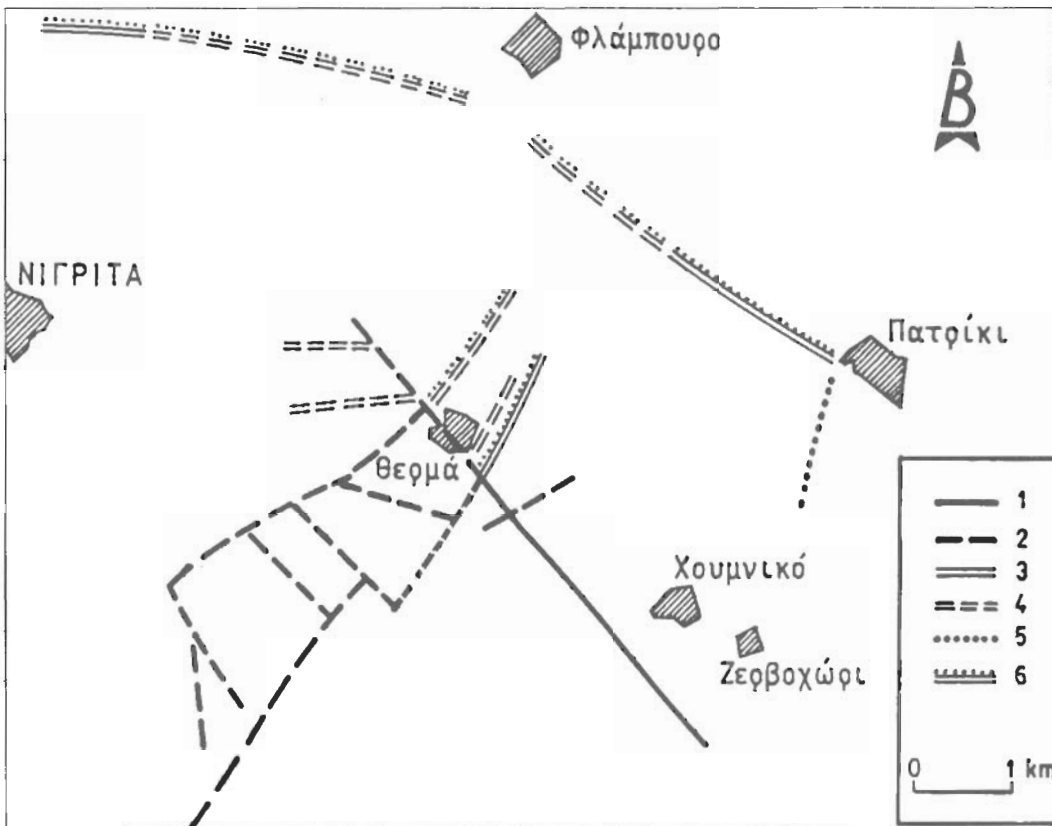
**Table 1.** Wells in the wider area of Therma - Nigrita.

ΚΩΔΙΚΟΣ ΓΕΩΤΡ.	ΒΑΘΟΣ (m)	Τ στην ΕΠΙΦΑΝΕΙΑ (°C)	Τ στον ΠΥΘΟΜΕΝΑ (°C)	ΥΔΡΟΣΤ. ΣΤΑΘΜΗ (m)	ΠΑΡΟΧΗ (m <sup>3</sup> /h)
N-1	359	32.0	33.6	0	—
N-2	254	27.0	28.1	—	—
N-3	330	28.0	28.9	—	30
N-4	150	19.2	—	39	30
N-5	80	19.9	—	—	25
N-5B	354	27.0	31.7	—	—
N-6	70	19.2	—	35	15
N-7	100	18.8	—	17	20
N-8	150	21.0	—	—	20
N-9	80	22.7	—	18	20
N-10	120	22.2	—	—	—
N-11	120	21.5	—	—	—
N-12	150	17.8	—	14	—
N-13	150	17.3	—	14	60
N-14	351	41.9	37.6 (238 m)	0	70
N-15	84	51.7	—	0	35-40
N-16	195	45.0	45.0	0	67
N-17	110.5	21.0	22.4	—	—
N-18	78	18.0	—	3	—
N-19	85	20.0	—	7-14	—
TH-1	160	59.0	61.0	0	55
TH-2	338	55.0	—	—	—
TH-3	472	45.0	47.5	—	—
TH-4	177	50.0	51.0	—	—
TH-5	262	42.0	42.4	0	75
Θ-6	150	23.0	—	6	30
Θ-7	110	20.1	—	14	20-40
Θ-8	120	19.8	—	13	45
Θ-9	372	47.8	—	0	100
Θ-10	130	53.0	—	0	>20
Θ-11	130	62.0	—	0	—
X-1	358	30.0	33.00	—	—
X-2	100	18.0	18.50	—	—
X-3	165	21.2	—	17	30
X-4	154	23.3	—	25	65
X-5	150	26.2	—	0	50
X-6	160	22.4	—	8	45
Π-1	150	20.9	—	6	30
Π-2	145	24.1	—	—	34
Π-3	320	38.5	40.1 (275 m)	0	—
Π-4	200	25.1	—	4	>100
Π-5	195	26.0	25.6(192 m)	30	40
Π-6	Ψηφιακή Βιβλιοθήκη "Θεόφραστος" -Τμήμα Γεωλογίας, Α.Π.Θ.				
					30



## 5. ΥΑΡΟΧΗΜΙΚΗ ΚΑΙ ΓΕΩΘΕΡΜΟΜΕΤΡΙΚΗ ΠΡΟΣΕΓΓΙΣΗ

Η επεξεργασία των χημικών αναλύσεων (Πίν. 2) των νερών των γεωτρήσεων αλλά και των πηγών έδειξε ότι τα θερμά νερά (>26°C) είναι του τύπου Na-HCO<sub>3</sub> (Σχ. 6) Στην κατηγορία αυτή ανήκουν τα νερά TH-1, TH-2, TH-5, Θ-9, Θ-11, N-2, N-14, N-15, N-16, 1, 2, 3, 5 και 7.



**Σχ. 5:** Διάγραμμα της περιοχής με τις κύριες διρματές από τα γεολογικά, γεωθερμικά και γεωφυσικά δεδομένα. Πρήματα (1) και πιθανά φίγματα (2) χαρτογραφημένα από I.G.M.E. - Ρίγματα (3) και πιθανά φίγματα (4) με βάση τα γεωφυσικά στοιχεία - Πιθανά φίγματα (5) από τις ταθερμείς - Ρίγματα (6) με βάση το συνδιπνοείδες γεολογικόν, γεωφυσικόν και θερμομετρικόν στοιχείον.

**Fig. 5:** Sketch map of the area with the main faults on the basis of the geological, geothermal and geophysical data. Faults (1) and Probable faults (2) mapped by I.G.M.E. - Faults (3) and probable faults (4) on the basis of geophysical data - Probable faults (5) after the interpretation of isothermal curves - Faults (6) on the basis of geological, geophysical and temperature data.

Αντίθετα, τα “υπόθερμα” νερά (19.3-27.0°C) είναι Ca,Mg,Na-HCO<sub>3</sub> τύπου, που χαρακτηρίζονται και ως “μικτού τύπου”, υποδεικνύοντας πιθανότατα ότι συγκριφοδούν στα Νεογενή και Τετραγενή ιζήματα της περιοχής. Εδώ ανήκουν τα νερά N-4, N-5B, N-6, N-8, N-9, N-10, N-11, N-17, Θ-7, Θ-8, 4 και 6.

Το διάγραμμα των Σχ. 7 συσχετίζει τις περιεκτικότητες Na<sup>+</sup> και Cl<sup>-</sup> με τη θερμοκαστία. Η αριθμητείται μια γενική αξέσημη των ιοντικών συγκρετούσεων με τη θερμοκαστία, δείχνοντας ότι τα στοιχεία από είναι αντιποστοπευτικά των γεωθερμικών γεινοτάν. Επίσης διακρίνεται μετά τη θερμοκαστία των 40°C μια σταθερότητα των ιοντικών τιμών που πιθανά φανερώνει τον κορεσμό του νερού ως προς τα στοιχεία.

Ψηφιακή Βιβλιοθήκη "Θεόφραστος" - Τμήμα Γεωλογίας, Α.Π.Θ.

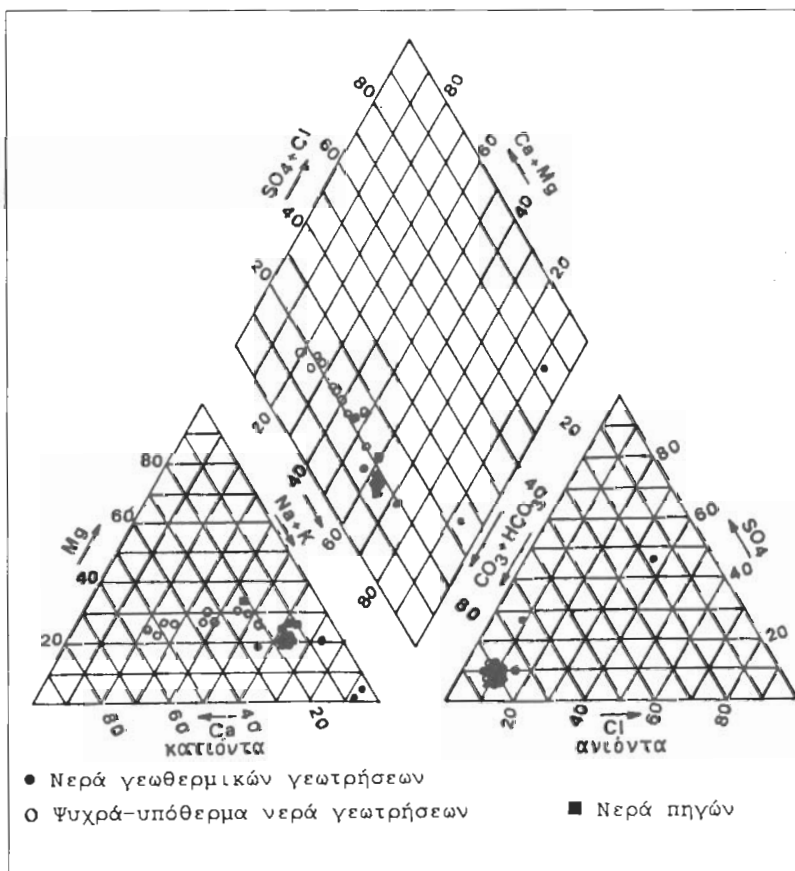
Το σύνολο των σημείων που εκπροσωπούν τα δείγματα κατανέμονται ανάμεσα σ' ένα πόλο μικρής περιεκτικότητας σε  $\text{Cl}^-$  και  $\text{Na}^+$ , που εκπροσωπείται από τα δείγματα των "χώρων" νεφών, και σ' ένα θερμό που αντιπροσωπεύει ένα διάλυμα σαν αυτό του νερού των γεωθερμικών ΤΗ-1 και Θ-11 (Σχ. 7). Προκύπτει μια πολύ εμφανής γραμμή ανάμιξης, η οποία υποδεικνύει τη "μόλυνση" του γεωθερμικού νερού, μετεωρικής πάντα αρχικής προέλευσης, με ένα νερό που έχει μικρότερη ποσότητα αλάτων (Σχ. 7,8). Δεν είναι δυνατό να καθιστεί η ποσότητα συμμετοχής των γεωθερμικού νερού για κάθε ένα δείγμα. Φαίνεται όμως (Σχ. 7) ότι τα δείγματα ΤΗ-1, ΤΗ-2, ΤΗ-5, Θ-9, Θ-11, Ν-14, Ν-15, Ν-16, 1, 2, 3, βρίσκονται πιο κοντά στον αρχικό ζεστό πόλο, ο οποίος είναι εμπλουτισμένος σε  $\text{Na}^+$ ,  $\text{K}^+$ ,  $\text{Mg}^{2+}$ ,  $\text{SO}_4^{2-}$  και  $\text{Cl}^-$ . Οι ανησκόπιες κατά θέσεις συγκεντρώσεις  $\text{NO}_3^-$  μπορούν να αποδοθούν στην ανθρώπινη δραστηριότητα.

Οι πιο υψηλές συγκεντρώσεις  $\text{Ca}^{2+}$  που παρατηρούνται στα θερμά νερά πιθανά οφείλονται και στη διάλυση ασβεστούχων ορυκτών κατά την άνοδο των γεωθερμικών ρευμάτων. Οι ανησκόπιες τιμές  $\text{pCO}_2$  ευνοούν τη διάλυση αυτή. Ως γνωστόν, τα νερά της περιοχής Νιγρίτας είναι πλούσια σε  $\text{CO}_2$  (π.χ.  $\text{pCO}_2 = 3.7 \times 10^{-1}$  για τη Θ-11).

Οι τιμές του  $\text{Ca}^{2+}$  παρουσιάζουν σημαντικές διακυμάνσεις στα νερά του τύπου  $\text{Ca}, \text{Mg}, \text{Na}-\text{HCO}_3$ . Αυτό μπορεί να αποδοθεί ή στο διαφορετικό βαθμό ανάμιξης του γεωθερμικού ρευμάτος με τα "κανονικά" επιφανειακά νερά ή στην επαφή του ρευμάτος με διαφορετικά γεωλογικά περιβάλλοντα.

Τα "γεωθερμικά" ρευμάτα κατά την άνοδό τους τροφοδοτούν το κροκαλοπαγές βάσης και άλλους μικρότερους υδροφόρους. Ένα μικρό μέρος τους βγαίνει μέσω ωρημάτων στην επιφάνεια ή πολύ κοντά σ' αυτήν, τροφοδοτώντας σε περιορισμένο βαθμό επιφανειακούς υδροφόρους.

Για να προσδιορισθεί η θερμοκρασία του βαθιού γεωθερμικού ρευμάτος εφαρμόσθηκαν τα χημικά γεωθερμόμετρα του  $\text{SiO}_2$  (Fournier, 1981),  $\text{Na}/\text{K}$  (Arnottson et al., 1983),  $\text{Na}-\text{K}-\text{Ca}$  (Fournier & Truesdell, 1973),  $\text{Na}-\text{Li}$  (Fouillac & Michard, 1981),  $\text{K}/\text{Mg}$  (Giggenbach et al., 1983),  $\text{Mg}/\text{Li}$  (Kharaka & Mariner, 1989) που προτείνουν τις θερμοκρασίες του Πίνακα 3.



Σχ. 6: Παροτρίσιση των αποτελεσμάτων των χημικών αναλύσεων των νερών της περιοχής Θερμών-Νιγρίτας πάνω σε τριγωνικό διάγραμμα κατά Piper.

Fig. 6: Presentation of the values of chemical analyses of the waters from Therma-Nigrita area on a trilinear diagram according to Piper.  
Φημική Βιβλιοθήκη Θεόφραστος - Τμήμα Γεωλογίας Α.Π.Θ.

Πίνακας 2. Αποτελέσματα χημικών αναλύσεων υδράν από την περιοχή Θερμάν - Νιγρίτας. Οι συγκεντρώσεις των λόγιων είναι σε mg/l.

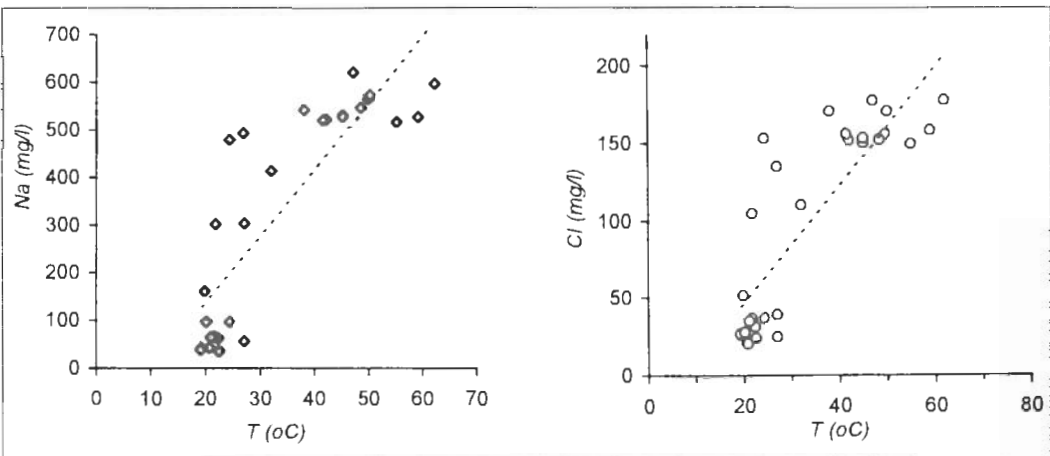
Table 2. The results of chemical analyses of waters from the Therma-Nigrita area. The concentrations of ions are expressed in mg/l.

ΕΓΓΡΗΣΙΣ ΚΑΙ ΠΗΓΕΣ	T (oC)	ΑΙΓΑΙΟ- ΘΗΤΑ (μS/cm)	pH	Na	K	Ca	Mg	Fe	Mn	Li	Sr	NH4	CI	HCO3	CO3	SO4	F	NO3	SiO2	B
** TH-1	59,0	3400	6,80	5269,7	82,1	121,8	95,3	0,37	0,100	1,45	1,26	0,44	157,7	1963,4	0,0	104,7	2,20	1,60	71,0	3,50
** TH-2	55,0	2440	7,90	517,3	78,2	82,7	0,09	...	...	0,40	148,9	1662,2	0,0	127,3	0,40	0,00	70,8	2,80	...	
** TH-3	45,0	4450	7,07	533,3	97,8	235,7	105,0	0,16	...	0,75	2,45	0,81	150,6	2362,4	0,0	141,7	0,35	0,00	50,4	2,50
** TH-5	42,0	4420	7,07	524,1	89,9	129,9	109,4	0,07	...	0,77	1,26	0,87	152,4	2025,6	0,0	139,3	0,72	0,00	55,8	3,40
Ψηφακή Ν.9	62,0	3370	7,24	597,7	78,2	140,3	102,1	0,03	0,017	0,87	0,97	...	177,2	2166,0	0,0	128,2	0,70	...	84,0	3,41
Ψηφακή Ν.9	47,0	3490	6,60	620,7	78,2	148,3	116,7	0,03	0,042	0,88	0,79	...	177,2	2252,6	0,0	129,7	0,70	...	85,0	3,42
Ψηφακή Ν.14	41,5	4040	6,90	523,0	80,4	131,1	102,0	3,00	0,070	1,00	1,20	0,28	155,8	2209,3	0,0	128,0	...	1,50	90,0	3,40
Ψηφακή Ν.15	50,0	3180	6,70	574,7	78,2	138,3	113,1	0,21	0,030	0,79	0,69	0,42	170,1	2112,9	0,0	125,8	0,70	...	94,0	3,15
* Φερβριού Ν.6	45,0	3400	6,70	531,0	94,6	137,1	109,4	0,36	0,063	1,07	0,85	0,42	153,6	2074,0	0,0	130,0	1,05	1,50	58,0	3,50
* Φερβριού Ν.6	32,0	2600	10,9	413,8	9,39	27,3	3,40	1,43	...	0,02	0,09	0,30	109,9	219,0	104,4	456,3	3,00	0,00	...	2,35
* Φερβριού Ν.6	27,0	1690	8,66	303,4	3,91	11,2	5,35	1,80	...	0,02	0,12	0,08	39,0	565,0	7,2	172,9	3,25	0,00	...	1,65
* Θερμόφυσος Ν.4	19,3	603	7,23	44,8	1,96	80,6	26,0	...	<0,005	0,01	0,34	...	26,6	397,2	0,0	29,3	0,25	...	23,0	0,13
* Θερμόφυσος Ν.5B	27,0	640	7,30	55,8	3,20	51,4	21,3	0,05	0,050	0,00	0,50	0,00	24,8	329,4	0,0	33,3	0,67	3,60	29,4	...
* Θερμόφυσος Ν.6	19,2	690	7,30	41,4	1,64	82,8	22,0	2,26	0,030	0,48	0,67	...	27,3	494,0	0,0	36,0	0,38	0,15	21,0	...
* Θερμόφυσος Ν.8	20,7	733	6,90	46,0	2,35	81,4	28,5	0,09	0,020	0,01	0,40	...	21,3	414,9	0,0	51,9	0,15	...	24,0	<0,1
* Θερμόφυσος Ν.9	22,4	686	6,90	37,9	2,35	92,2	25,3	0,02	0,067	<0,01	0,34	...	24,8	404,5	0,0	36,5	0,10	...	29,0	<0,1
* Θερμόφυσος Ν.10	22,2	630	7,08	64,4	3,52	50,5	24,3	0,06	<0,005	0,01	0,48	...	31,9	345,9	0,0	23,5	0,05	6,20	26,0	<0,1
* Θερμόφυσος Ν.11	21,5	690	7,13	67,8	3,52	57,7	30,6	0,03	<0,005	0,01	0,57	...	37,2	392,3	0,0	26,4	0,03	6,20	25,0	<0,1
* Θερμόφυσος Ν.17	21,0	577	7,15	66,7	11,7	29,3	23,3	0,06	0,013	0,03	0,13	...	35,5	301,4	0,0	31,2	0,12	...	8,0	0,21
* Θερμόφυσος Ν.7	20,1	944	6,73	98,9	31,3	57,7	42,3	0,04	<0,005	0,18	0,25	...	28,4	539,4	0,0	60,5	0,16	9,30	38,0	0,50
* Θερμόφυσος Ν.8	19,8	1100	7,88	160,9	19,6	59,3	44,3	0,04	<0,005	0,19	0,30	...	51,4	661,4	0,0	58,6	0,20	9,30	33,0	0,83
* Θερμόφυσος Ν.1	49,6	3680	7,20	567,2	85,9	100,2	111,9	0,04	...	0,86	0,29	0,47	156,0	2022,9	0,0	130,8	1,80	0,00	80,0	3,60
* Θερμόφυσος Ν.2	48,3	3220	6,60	550,0	100,0	88,8	125,0	0,05	0,043	1,15	0,56	...	152,7	2141,1	0,0	96,1	1,73	3,12	96,6	...
* Θερμόφυσος Α.Π.Θ. 4	38,0	3000	6,45	543,8	93,8	93,3	118,8	0,11	0,043	1,15	0,68	...	170,4	2116,7	0,0	72,5	1,62	3,61	95,4	...
* Θερμόφυσος Α.Π.Θ. 5	24,3	3100	6,40	98,0	15,4	54,0	33,0	0,09	0,033	0,18	0,29	...	37,0	531,0	0,0	51,0	0,42	0,41	32,2	...
* Θερμόφυσος Α.Π.Θ. 6	21,8	2300	6,34	302,5	53,8	110,5	103,0	0,10	...	0,65	0,54	...	104,4	1413,2	0,0	84,0	1,26	12,3	73,5	...
* Θερμόφυσος Α.Π.Θ. 7	26,9	3000	6,20	493,8	79,0	98,8	125,0	0,09	0,054	0,52	0,71	...	135,0	1910,0	0,0	200,0	1,46	11,2	81,2	...

\*\*\* Χημικές αναλύσεις Ι.Π.Μ.Ε. (στοιχεία αδηματικής)

\* Διπλορούς, 1990

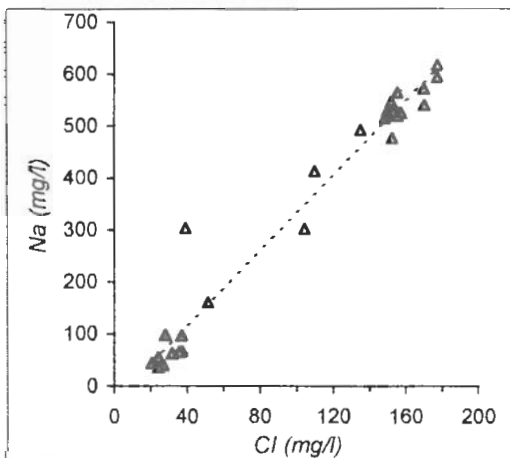
Χωρίς ενδεικτικό σημείο : Χημικές αναλύσεις στα πλαίσια της προσάσας ηρασίας



**Σχ. 7:** Οι τονικές συγκεντρώσεις  $\text{Na}^+$  και  $\text{Cl}^-$  με τη θερμοκρασία ( $^{\circ}\text{C}$ ).

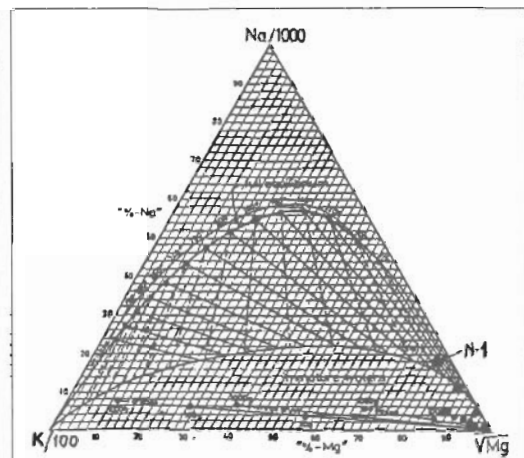
**Fig. 7:** Ionic  $\text{Na}^+$  and  $\text{Cl}^-$  contents vs temperature ( $^{\circ}\text{C}$ ).

Οι θερμοκρασίες που προτείνονται από τη χρήση του γεωθερμικού μέτρου  $\text{SiO}_2$  είναι χαμηλότερες από αυτές που δίνονται από τα γεωθερμικά μέτρα που χρησιμοποιούν το λόγο  $\text{Na}/\text{K}$ . Η υδροζημάτη μελέτη έδειξε ότι τα ζεστά νερά περιέχουν ποσοτό μετεωρικού νερού, αν και φαίνεται ότι τα δείγματα Θ-1 και Θ-11 είναι τα πιο αντιπροσωπευτικά του ζεστού διαλύματος. Η εφαρμογή του θερμοδιναμικού μοντέλου WATEQ-F (Truesdell & Jones, 1974) έδειξε ότι τα νερά είναι υπερκρυσταλλικά ως προς τον χαλαρισμό. Άρα η τιμή της θερμοκρασίας που υπόλογιζεται με το γεωθερμικό μέτρο του  $\text{SiO}_2$  θα πρέπει να θεωρηθεί σαν η ελάχιστη δυνατή του γεωθερμικού πεδίου.



**Σχ. 8:** Η μεταβολή της περιεκτικότητας του  $\text{Na}^+$  ή  $\text{Cl}^-$  με τα  $\text{Cl}$

**Fig. 8:**  $\text{Na}^+$  contents vs  $\text{Cl}^-$  contents.



**Σχ. 9:** Απεικόνιση των νερών στο τριγωνικό διάγραμμα του Giggenbach (1988)

**Fig. 9:** Presentation of the waters on the trilinear diagram according to Giggenbach (1988)

Τα γεωθερμικά  $\text{Na}/\text{K}$  και  $\text{Na}-\text{K}-\text{Ca}$  δίνουν θερμοκρασίες πολύ υψηλότερες του προηγουμένου. Η μελέτη της μεταβολής του λόγου της ενεργότητας  $\text{Na}/\text{K}$  σε σχέση με τη θερμοκρασία δείχνει ότι η καμπή ληδανίας δεν είναι υπερβολή, δηλ. ώνοντας την εξάρτηση αυτού από την ανάμετρη. Επομένως, ο λόγος  $\text{Na}/\text{K}$  δεν μπορεί να θεωρηθεί ότι εξ-φράξει την ισορροπία σε βάθος. Επίσης το γεωθερμικό μέτρο αυτό δεν δίνει αξιόπιστα αποτελέσματα για τα ζεστά νερά της περιοχής γιατί αέριον περισσεια  $\text{CO}_2$  και β) η πλεονημή αυτών είναι σύντομη.

Ψηφιακή Βιβλιοθήκη "Θέρφαστος" - Τμήμα Γεωλογίας, Α.Π.Θ.

**Πίνακας 3.** Εξτίμηση των θερμοχρασιών (°C) του βαθύτερου ταφικού νερού με τη χρήση γεωθερμόμετρων.

**Table 3.** Estimation of temperature (°C) in the deeper reservoir by the use of geothermometers.

ΔΕΙΓΜΑ	T(°C) SiO <sub>2</sub>	T(°C) Na/K	T(°C) Na-K-Ca	T(°C) Na-Li	T(°C) K/Mg	T(°C) Li-Mg
TH-1	118.9	244.7	210.5	138.3	91.5	76.3
TH-2	118.8	241.3	217.2	—	92.0	—
TH-3	102.2	266.2	214.2	94.4	94.8	60.0
TH-5	107.0	257.4	215.9	97.0	92.0	60.2
Θ-11	127.7	224.1	201.2	96.5	89.3	63.6
Θ-9	128.3	219.8	199.2	95.0	87.6	62.4
N-14	131.4	261.1	216.8	113.4	90.0	66.8
N-15	133.8	228.7	202.9	93.2	88.0	60.4
N-16	108.9	262.4	218.0	116.5	93.4	67.5
N-1	—	80.6	122.0	—	—	22.9
N-2	37.3	50.5	93.1	—	53.8	19.0
1	125.1	241.5	212.4	—	90.5	62.4
2	135.3	265.1	224.7	119.4	93.1	67.7
3	134.6	258.1	220.5	120.2	92.0	68.3
4	82.3	246.1	91.2	109.3	63.8	42.5
5	120.7	246.2	213.0	120.1	86.3	65.4
6	110.1	262.1	208.4	121.1	79.7	57.2
7	125.9	248.4	213.1	78.4	87.0	50.4

Το επιειδικό γεωθερμόμετρο Na-Li δίνει σαν πιθανότερη θερμοχρασία αυτή των 138 °C.

Η προβολή των νερών ότι τριγωνικό διάγραμμα των Giggenbach (1988) κατατάσσει αυτά στην περιοχή όπου δεν επιχρεωτεί χημική ισοδοσία νερού-πετρώματος, με τξαίρεση το δεύτερο N-1 που τοποθετείται στην περιοχή όπου επιχρεωτεί μερική χημική ισοδοσία νερού-πετρώματος (Σχ. 9). Για το δεύτερο αυτό, η προτεινόμενη με βάση το τριγωνικό διάγραμμα των Giggenbach (1988) θερμοχρασία είναι της τάξης των 130 °C. Για τα νερά στα οποία δεν επιχρεωτεί χημική ισοδοσία νερού-πετρώματος ο Giggenbach (1988) προτείνει τη μη χρησιμοποίηση του γεωθερμόμετρου Na/K ενώ θεωρεί ενοχλητή τη χρήση του γεωθερμόμετρου K/Mg.

Οι θερμοχρασίες που λαμβάνονται με τη χρήση του γεωθερμόμετρου Li-Mg (Kharaka & Mariner, 1989) είναι υποβαθμισμένες (60-76 °C) και σηματόπτευτη σχεδόν με τις θερμοχρασίες που εμφανίζονται κατά την έξοδό τους τα γεωθερμικά ρεντά.

Η πιθανότερη θερμοχρασία για τα νερά του ζεστού πόλου είναι αυτή των 130-140 °C. Αυτή η τιμή είναι αρκετά κοντά σ' αυτήν που υπολογίσθηκε με την εφαρμογή του ισοτοπικού γεωθερμόμετρου O<sup>18</sup>(SO<sub>4</sub><sup>2-</sup>-H<sub>2</sub>O) (Dotsika, 1991) και η οποία ήταν της τάξης των 150°C. Επίσης είναι ισο με τη θερμοχρασία που μετορθίσθηκε στην εργαστηρική γεωτροπολη της ΛΕΠ STR-1 (στο κέντρο της λεζάνης του Στρωμάνα) και έδειξε την 135°C στη βάση των Νεοχρηνών και σε βάθος 3651m (PPC, 1988). Η προτεινόμενη από Dimopoulos (1990) θερμοχρασία είναι 176°C. Η μέχρι τώρα γεωθερμομετρική έρευνα κατατάσσει το πεδίο Θερμών Νεγρίτας στα χαμηλής ενθαλπίας γεωθερμικά πεδία.

## 6. ΣΥΜΠΕΡΑΣΜΑΤΑ

Από τη συνεπτίμηση των συνόλου των στοιχείων (θερμομετρήσεις, ιδροχρηματίσεις, γεωφυσικές δεδομένες, γεωλογία και τεκτονική) προσεύπτουν τα παρακάτω :

- Στα περιθώρια των γεωθερμικού πεδίου εμφανίζονται οι μεταιορθωμένοι οιστόλιθοι, που έχουν διαρρεγεί από σύστημα νερού ψευδομεταστρακικής γεωθερμικότητας.

Το υπόβαθρο δεν έχει ιδιαιτερά ανέμημη θερμοκρασία, όπως αποδείχθηκε και από τη γεωθερμική βιαθμίδα της ΤΗ-4, όπου η θερμοκρασία ελαττώνεται αντί να αυξάνεται μέσα στο υπόβαθρο (Σχ. 2).

- Στα νεότερα ίερατα κυριαρχεί το αργιλικό στοιχείο, γι' αυτό λειτουργούν συνολικά σαν ηδατοστεγανό γενικά κάλιψμα των γεωθερμικών φενοτόνων. Υπάρχουν όμως μέσα σ' αυτά και υδροφερατά στρώματα, με κυριώτερο το κροκαλοπαγές βάσης, άλλα και ενδιάμεσες ενοτρόφωσις με νερά από ανάμεζη "επιφανειακόν" κοίτων νερών με βαθύτερης προέλευσης γεωθερμικά φενοτόνα (νερά και διαλυμένα αέρια).

- Τα υδροφέρατα στρώματα δεν επικοινωνούν απαρατήτως μεταξύ τους υδραντικά. Ο βαθμός τροφοδοσίας με γεωθερμικά φενοτόνα εξαρτάται από την οριζόντια απόσταση που έχουν από το οργανικό ανόδου των φενοτόνων. Αυτό διαπιστώνεται και από τη θερμοκρασία του κάθε επιμέρους υδροφέρου, που μειώνεται με την απομάκρυνση από το οργανικό, συγχρόνως με τη συνολική περιεκτικότητα σε άλατα, που επίσης ελαττώνεται.

- Η οργανική τεκτονική στο Τεταγογενές που πολύ πιθανόν επαναδρωτηριοποιεί και τα Μειο-Πλειοκανικά οργανικά φενοτόνα της λεκάνης, φαίνεται να είναι η κύρια αιτία της γεωθερμικής ανωμαλίας και φυσιμέει τη λειτονογία του πεδίου.

- Από τη μορφή των ωδοθέρμων καμπυλών (Σχ. 3 και 4) διεκρίνονται αρχετά καλά τα κωαπεδικά οργανικά ΒΔ-ΝΔ διεύθυνσης, που επηρεάζουν τη θερμική κατάσταση και επομένως την υπόγεια κυκλοφορία των γεωθερμικών φενοτόνων.

- Η γεωθερμικά επηρεάζεται απόμια πιο έντονα από τα ΒΔ-ΝΔ οργανικά (Σχ. 3, 4). Η διαταύχωση των δύο ουσιητικών οργανικών στην κοντενή περιοχή που βρίσκεται βόρεια των Θερμών, πολύ πιθανά αποτελεί την κυριώτερη δίοδο ανόδου των γεωθερμικών φενοτόνων από βαθύτερα σημεία. Τα φενοτά τροφοδοτούν στη συνέχεια τους νεότερους ίερατα γεωθερμικών και κυρίως το κροκαλοπαγές της βάσης. Όσο απομακρύνεται κανείς από τη διαταύχωση, τόσο ελαττώνεται η γεωθερμική ανωμαλία, καθόσον όλο και περισσότερο συμφεύγουν στους υδροφέρους τα επιφανειακά νερά. Σ' αυτό συμβάλλει και η μεγαλύτερη διαδρομή κυκλοφορίας των νερού. Αυτό ενισχύεται και από την πιστοποίηση ότι τα νερά των γεωφύσεων Θ-9, Ν-14, Ν-15 και Ν-16 έχουν σημαντική ελάττωση της θερμοκρασίας (40-50°C αντί 60°C της ΤΗ-1).

- Η νέα τεκτονική, όπως προκύπτει και από τις στρωματογραφικές τοιμές των γεωφύσεων, άλλα και τα γεωφυσικά στοιχεία, έχει δημιουργήσει σειρά από "οργέζεμάζη" (blocks). Αυτά έχουν συνηθεί διαφορετικά μεταξύ τους και διακόπτουν τη συνέχεια των γεωλογικών σχηματισμών και επομένως των υδροφέρων, εμποδίζοντας τη μεταξύ τους επικοινωνία και διαφοροποιώντας τη σχετική σημεριφορά. Είναι γι' αυτό πολύ δύσκολο να προσδιορισθεί με αρρίστεια ο τρόπος κυκλοφορίας των γεωθερμικών φενοτόνων στο χώρο του πεδίου.

- Στο πεδίο αυτό αναπτύσσεται σχεδόν παντού το κροκαλοπαγές βάσης, ο κύριος γεωθερμικός ταφιευτήρας, με νερό μέγιστης θερμοκρασίας 62°C και μέτριας αλατότητας (Σ.Λ.Α. 2-3 g/l). Υπάρχουν όμως και υπερχείμενοι υδροφέροι με θερμοκρασία 25-35°C και πολύ μικρή αλατότητα που έχουν κατά θέσης αξιόλογη υδροφορία.

- Η υδροχημική έρευνα έδειξε την πιθανή ανάμεξη των γεωθερμικών φενοτόνων τύπου Na-HCO<sub>3</sub> με επιφανειακά νερά μικρότερης περιεκτικότητας σε άλατα. Οι λοιπές συγχεντρώσεις των δειγμάτων ΤΗ-1, ΤΗ-2, ΤΗ-5, Θ-9, Θ-11, Ν-14, Ν-15, Ν-16, 1, 2, 3 βρίσκονται πιο κοντά σ' αυτές του βαθύτερου γεωθερμικού φενοτού, παρόλο που το Σ.Λ.Α. είναι σχετικά χαμηλό. Η "αράιτο" των θερμών νερών λόγω ανάμεξης με τα συνεπακόλουθα γεωχημικά φαινόμενα, φαίνεται ότι επηρέασε τα περισσότερα γηπεικά γεωθερμικά, δημιουργώντας οφθαλό πρόβλημα στην προσέγγιση της πραγματικής θερμοκρασίας των βαθύτερων γεωθερμικών φενοτόνων. Η προτεινόμενη θερμοκρασία αυτών είναι της τάξης των 130 - 140 °C.

- Τα γεωθερμικά φενοτά του πεδίου περιέχουν συνήθως σε διάλυση μεγάλες ποσότητες αερίων εκ των οποίων κυριαρχεί σε ποσότητα μέχρι και 99.3% το CO<sub>2</sub>. Αυτά, σε συνδιασμό με τη θερμοκρασία και την υδροστατική πίεση (π.χ. 2.7 atm στην ΤΗ-1) δημιουργούν ένα απαρκευτό αρτεμιανισμό των γεωθερμικών υδροφέρων.

**Ψηφιακή Βιβλιοθήκη "Θεόφραστος"-Τμήμα Γεωλογίας, Α.Π.Θ.**

- Αν θεωρηθούν εκμεταλλεύσιμα τα φερστά με  $T > 30^{\circ}\text{C}$  σε βάθη έως 500 m, η έκταση του πεδίου είναι περίπου 16 km<sup>2</sup> (μεταξύ Νιγρίτας και Πατρικίου).

- Ιαβά το γεγονός ότι δεν έχουν γίνει συστηματικές μετρήσεις παραγωγής των γεωτρήσεων της περιοχής, η πολυτελής ουλιτεριφορά τους, σε συνδικαλισμό με τη συνεχή λειτουργία των περιουσιατέρων γεωτρήσεων έχει αυτίας διαρροών και αρτεσιανισμών, καθώς και η σταθερότητα της θερμοκρασίας, μας επιτρέπει να συμπεράνουμε ότι το συνολικό δυναμικό του πεδίου ξεπερνάει κατά πολὺ τα 500 m<sup>3</sup>/h και ίσως φθάνει τα 1000 m<sup>3</sup>/h. Ήδη η παραγόμενη χωρίς άντληση ποσότητα γεωθερμικού νερού από τις γεωτρήσεις, μαζί με τις διαρροές από τα τοιχώματα αυτών, φθάνει τα 400 m<sup>3</sup>/h.

## ΒΙΒΛΙΟΓΡΑΦΙΑ

- ARNORRSON, S., GUNNLAUGSSON, E. & SVARARSSON, H. 1983. The chemistry of geothermal waters in Iceland III. Chemical geothermometry in geothermal investigations. *Geochim. Cosmochim. Acta*, **47**, 547-566.
- ΒΑΡΓΕΜΕΖΗΣ, Γ., ΒΟΪΔΟΜΑΤΗΣ, Φ., ΞΑΝΘΟΙΟΥΛΟΣ, Γ., ΚΥΡΙΑΚΙΔΗΣ, Λ. & ΤΣΟΚΑΣ, Γ. 1988. Γεωηλεκτρική Έρευνη περιοχής Θερμών-Νιγρίτας. Σύνδεσμος Δήμου και Κοινοτήτων Ιαματικών Ηηγών Ελλάδας (Σ.Α.Κ.Ι.Π.Ε.), Θεσ/νίκη, 15 σελ.
- B.R.G.M. - I.G.M.E. 1982. Etude de faisabilité d'un projet géothermique à Serres (Grèce), Partie 1, Rapp.82-SGN-801 GTH, 84 pp.
- DIMOPOULOS, CH. G. 1990. Preliminary Hydrothermal - Geothermal Investigations of Nigrita Serres Geothermal Field (C. Macedonia, Greece). *Steir. Beitr.z. Hydrologie*, **41**, Graz, 133-148.
- DOTSIKA, E. 1991. Utilisation du géothermomètre isotopique sulfate-eau en milieux de haute température sous influence marine potentielle: les systèmes géothermaux de Grèce. These en Science, Univ. Paris-Sud, 184 pp.
- FOUILLAC, C. & MICHAUD, G. 1981. Sodium lithium ratio in water applied to geothermometry of geothermal reservoirs. *Geothermics*, **10**, 55-70.
- FOURNIER, R. O. & TRUESELL, A.H. 1973. An empirical Na-K-Ca geothermometer for natural waters. *Geochimica et Cosmochimica Acta*, **37**, 1255-1275.
- FOURNIER, R.O. 1981. Application of water geochemistry to geothermal exploration and reservoir engineering. In: *Geothermal Systems: Principles and Case Histories*, Ryback L. and Muffler L.J.P. (Eds), Wiley, New York, 109-143.
- GIGGENBACH, W. F., GONFIANTINI, R., JANGI, B.L. & TRUESELL, A.H. 1983. Isotopic and chemical composition of Parbatī Valley geothermal recharges, NW Himalaya, India. *Geothermics*, **12**, 199-222.
- GIGGENBACH, W. F. 1988. Geothermal solute equilibria. Derivation of Na-K-Mg-Ca geoindicators. *Geochim. Cosmochimica Acta*, **52**, 2749-2765.
- Ι.Γ.Μ.Ε. 1970. Γεωλογικός Χάρτης Ελλάδος, Κλίμακα 1:50000, Φ. ΣΙΤΟΧΩΡΙΟΝ, Αθήνα.
- ΚΑΡΑΜΠΕΛΑΣ, Α.Ι., ΑΝΔΡΙΤΣΟΣ, Ν. & ΚΑΡΥΔΑΚΗΣ, Γ. 1993. α) Ηδοκατασκευή εκτίμηση για την αξιοποίηση του CO<sub>2</sub>, β) Μελέτη για επιλογή διαμέτρου σωληνώσεων για αύξηση της απόδοσης σε αρτεσιανές γεωτρήσεις. *ΕΠΧΗΔ / ΙΓΜΕ*, Θεσ/νίκη, 47 σελ.
- ΚΑΡΥΔΑΚΗΣ, Γ. 1983. Έρευνα - Μελέτη του Γεωθερμικού Ηεδίου Χαμηλής Ενθαλπίας στην περιοχή Θερμά Νιγρίτας. Ι.Γ.Μ.Ε., Αθήνα, 45 σελ.
- KHARAKA, Y.K. & MARINER, R.H. 1989. Chemical geothermometers and their application to formation waters from sedimentary basins. In : Naeser, N.D. and McCollon, T.H. (eds) *Thermal History of sedimentary Basins*, Springer-Verlag, N. York, 99-117.
- ΚΥΡΙΑΚΙΔΗΣ, Λ., ΤΣΟΚΑΣ, Γ., ΒΑΡΓΕΜΕΖΗΣ, Γ., ΒΟΪΔΟΜΑΤΗΣ, Φ. & ΞΑΝΘΟΙΟΥΛΟΣ, Γ. 1988. Γεωηλεκτρική Μελέτη περιοχής Θερμών Νιγρίτας. Σ.Δ.Κ.Ι.Π.Ε., 37 σελ.
- ΜΕΜΟΥ, ΤΖ. 1983. Γεωφυσική συμβολή στην διερεύνηση γεωλογικών δομών της λεκάνης του Ψηφιακή Βιβλιοθήκη "Θεόφραστος" - Τμήμα Γεωλογίας. Α.Π.Θ. Στρυμόνα. Διδακτορική Διττοψήφη, Αθήνα, 171 σελ.

- ΜΟΥΝΤΡΑΚΗΣ, Α. & ΚΙΛΙΑΣ, Α. 1992. Γεωλογική χαρτογράφηση των τμημάτων της Σερβο-μακεδονικής μάζας και της λεκάνης του Στρυμόνα μεταξύ των Κοινοτήτων Κερκίνης και Λιθοτόπου. Σε μελέτη "Έρευνα Γεωθερμικών Ηεδίων Ν. Σερρών", Νομαρχία Σερρών - Α.Π.Θ. / Τμ. Γεωλογίας, Θεσ/νίκη, 10-20.
- P.P.C. (Public Petroleum Corporation) 1988. Evaluation of deep oil holes. Athens, 42-53.
- P.P.C. (Public Power Corporation) 1981. Geothermal Energy Project. Serres basin area. Geoelectrical survey. IfG (Prof. Dr. J. Makris), Hambourg.
- ΣΤΑΜΟΥ, Θ. 1989. Σετομπές τομές στην περιοχή Νιγρίτας. Ι.Γ.Μ.Ε., Αθήνα, 6 σελ.
- TRUESDELL, A.H. & JONES, B.F. 1974. WATEQF a computed programme for calculating chemical equilibria of natural waters. U.S. Geol. Surv. Journ. Res., 2, 233-248.